

Vysoká škola strojní a textilní v Liberci

nositelka řízení práce

Fakulta strojní

Obor 23 - 20 - 8

Stroje a zařízení pro strojírenskou výrobu

samřeni:

Jednoúčelové obráběcí a montážní stroje

Katedra obrábění a montáže

JEDNOÚČELOVÝ STROJ NA DÉLNÍ TYČOVÁNÍ

MATERIÁLU

Petr Saic

KOM - OS - 025/82

Vešoucí práce: Ing. Oldřich Masil - KOM VŠST

Konsultant: Ing. Miroslav Martinek - KOM VŠST

Rozsah práce a příloh:

Počet stran: 50

Počet obrázků: 10

Počet tabulek: 1

Počet výkresů: 6

Počet kresovníků: 4

Vysoká škola: strojná a textilná  
v Liberci

Fakulta: strojná

Katedra: obráběná a montáž

Školní rok: 1981/82

## ZADÁNÍ DIPLOMOVÉ PRÁCE

(PROJEKTU, UMĚLECKÉHO DÍLA, UMĚLECKÉHO VÝKONU)

pro Petra Š a i c e

obor 23-21-8 stroje a zařízení pro strojírenskou výrobu

Vedoucí katedry Vám ve smyslu nařízení vlády ČSSR č. 90/1980 Sb., o státních závěrečných zkouškách a státních rigorózních zkouškách, určuje tuto diplomovou práci:

Název tématu: Jednoúčelový stroj na dělení tyčového materiálu

### Zásady pro vypracování:

1. Seznámení se zadáním úkolem
2. Způsoby dělení materiálu
3. Stanovení produktivního dělení tyčového materiálu  
 $\varnothing 4,5 - 11$  mm na délky  $l = 70 - 110$  mm
4. Konceptní návrh stroje
5. Ekonomické zhodnocení

Autorské právo se řídí  
MŠK pro státní záv. zkoušky č. j. 31  
727/62-11/2 ze dne 13. července  
1962-Věstník MŠK XVII, část 24 ze  
dne 31. 8. 1962-19 č. z. č. 113/63 Sb.

VYSOKÁ ŠKOLA STROJNÁ A TEXTILNÁ  
Ústřední knihovna  
LIBEREC 1, STUDENTSKÁ 8  
PSČ 461 17

Rozsah grafických prací: 4 - 6 výkresů  
Rozsah průvodní zprávy: 30 - 40 stran textu  
Seznam odborné literatury: Píř; Obráběcí stroje  
Höschl; Pružnost a pevnost ve strojírenství  
Přikryl, Husáilková; Geometrie oběhů  
Cerna; Hydraulické mechanismy v oboru výrobních strojů  
Gorofkin; Přizpůsobeníje dílců netalovežučích stankov

Vedoucí diplomové práce: Ing. Oldřich Kváčil

Konzultant Di: Ing. Miroslav Martinec

Datum zadání diplomové práce: 15.10.1981 - konečné zadání

Termín odevzdání diplomové práce: 4.5.1982



*Jan*  
Doc. Ing. Jan Janáček, JSc  
Vedoucí katedry

*Jan*  
Doc. Ing. Miroslav Martinec, JSc  
Děkan

v Hlavenčí dne 15.10. 1981

Místopřisečně prohlašuji, že jsem diplomovou práci vypracoval  
samostatně s použitím uvedené literatury.

V Liberci dne 4.6.1982

*Petr Paic*

## UČEBNÁ

	Strana
<b>Technické opatření a osnova průmyslových řezání</b>	6
	9
<b>1. Měření materiálů</b>	
1.1. Úvod	11
1.2. Měření způsobů měření materiálů	11
1.2.1 Řezání frézami pilou	11
1.2.2 Řezání na stroji listové pile	12
1.2.3 Řezání na plovoucích odřezávacích	13
1.2.4 Řezání na soustružích	13
1.2.5 Řezání na štych	13
1.2.6 Měření materiálů měření	16
1.2.7 Řezání na hranolcích odřezávacích	16
1.2.8 Elektrovodový způsob řezání materiálů	17
1.2.9 Elektrojiskrová metoda řezání	18
1.2.10 Elektromechanická metoda řezání	19
1.2.11 Anodově-ochranný způsob řezání	20
1.2.12 Elektrolytická metoda řezání	21
1.2.13 Řezání materiálů proudem plazmy	21
1.2.14 Řezání materiálů proudem elektronů	22
<b>2. Výpočet strojních částí a složek způsobů měření tyčových materiálů určujících různé metody</b>	
2.1. Úvod	24
2.2. Výpočet strojních částí	24
2.2.1 Výpočet pro kroužkové, pásové a zářivé pily	24
2.2.2 Výpočet pro frézování a soustružení	25
2.2.3 Výpočet pro frézování	26
2.2.4 Výpočet pro řezání brusky	27
2.2.5 Výpočet pro upichování KO noží a řezání KO pilami	27

	Strana
<b>3. Popis způsobu odlevení</b>	
3.1. Úvod	29
3.1.1 Návrh lisu	29
3.1.2 Popis lisu	29
3.1.3 Výpočet pružin potřeby pro vrácení pohyblivé části přípravku	31
3.1.4 Popis přípravku	32
<b>4. Návrh a popis brusky</b>	
4.1. Úvod	34
4.2. Uspořádání brusky	34
4.2.1 Návrh elektromotorů	35
4.2.2 Měření sil při srážení hran tyček brusky kotoučem	37
4.2.3 Výpočet osubného fúzného a fúzného pro pohon bahní	38
4.2.4 Výpočet osubného fúzného a fúzného pro pohon klínových fúznů	40
<b>5. Popis podřadného zařízení</b>	
5.1. Úvod	42
5.2. Návrh hydraulického obvodu	42
5.3. Technický popis	43
5.4. Posuv tyče po ustřihání	43
5.5. Příprava nové tyče	43
<b>6. Popis odvětrávacího zařízení</b>	
6.1. Úvod	45
6.2. Technický popis	45
<b>7. Ekonomické zhodnocení</b>	47
Závěr	49
Seznam použité literatury	50

## ROZŠÍŘENÁ SYMBOLIKA A SEZNAM PROMĚNNÝCH

<b>Symbol</b>	<b>Význam</b>	<b>Jednotka</b>
$v$	řezná rychlost	$m \text{ min}^{-1}$
$h$	výška řezaného materiálu	$mm$
$s$	počet zubů pily	
$b_p$	šířka kotoučové pily	$mm$
$D$	průměr kotoučové pily	$mm$
$n_s$	počet na zub	$mm \text{ zub}^{-1}$
$T$	trvanlivost ostří	$min$
$T_{opt}$	požadovaná trvanlivost ostří	$min$
$v_{opt}$	hladina optimální rychlost	$m \text{ min}^{-1}$
$k_T$	koefficient pro kotoučovou pilku	
$n$	otáčky pily	$ot \text{ min}^{-1}$
$n_m$	počet pily za minutu	$mm \text{ min}^{-1}$
$b_0$	šířka upínacího nosu	$mm$
$e$	posuv na otáčku	$mm \text{ ot}^{-1}$
$l$	tloušťka řezaného materiálu	$mm$
$l_1$	tloušťka přejetí pily po uříznutí mater.	$mm$
$d$	průměr řezaného materiálu	$mm$
$\sigma_{Tc}$	nos povrchu v tahu	$MPa$
$T_{Tc}$	povrch ve stříhu	$MPa$
$F$	stříhací síla	$N$
$S$	stříhací plocha	$mm^2$
$W$	stříhací práce	$J$
$o_s$	tloušťka stříhaného materiálu	$mm$
$V$	objem	$m^3$
$\rho$	hmotnost	$kg \text{ m}^{-3}$

Symbol	Význam	Ročník
$D_0$	střední průměr světla	III
$d_0$	průměr světla	III
K	konstantní součinitel napětí v krutu	
$T_{Dx}$	napětí deformačního krutu	IIIa
n	počet světla	
o	vnější průměry ve smyku	IIIa
$n_0$	počet odvětvových světla	
$l_0$	síla plus součinná práce	III
$\alpha$	úhel světla	stupně
$\beta$	úhel řezu	stupně
$\phi$	úhel špičky	stupně
H	maximální tloušťka roztaženého profilu	III
$F_2$	úhlový výkon pily	IV
$F_3$	odbojová síla	II
$F_4$	normální síla	II
$F_5$	tečná síla	II
i	převodový poměr	
e	vnější vzdálenost	III
$e_1, e_2$	počet zubů řezacího	
$e_3$	počet zubů řezacího	
$e_4$	rozdělí řezacího	III
n	vnější průměr	III
$J_d$	konstantní součinitel vztažený na průměr řezacího	III
n	vzdálenost mezi osami od vnější strany řezacího v zubní mezeře	III
$d_{z1}$	vnější průměr hlavní řezacího	III

Kód	Název	Množství
1	výšší právní pomoc ženám	100
2	příspěvek občanských služeb	100
3	výška mzdy	100
4	dovolený tlak na boční sílu	100
5	sociální dávky provoz	100
6	výška mzdy	100

## P Ř E D M L U V A

Klíčové postavení v rozvoji národního hospodářství v sedmé pětiletce a v celém období osmdesátých let bude mít strojírenství. Pro naplnění svého poslání má předpoklady ve své materiálně technické základně, v kvalifikaci a zkušenostech dělnických a technických kádrů ve výrobním a vědeckovýzkumném potenciálu.

Naše strojírenství dosáhlo mnoha úspěchů, v řadě oborů však neudrží krok s prudkou dynamikou světového vývoje. Jde o to, aby strojírenství na kvalitativně vyšší úrovni zajišťovalo modernizaci výrobně technické základny hospodářství. Předpoklady dalšího efektivního rozvoje strojírenství spočívají především v cílevědomějším formování jeho struktury. Je nutné přednostně soustředit síly na rozvoj těch oborů a výrob, kde máme reálné předpoklady dosahovat světové úrovně, a které s vysokou efektivností zabezpečují rozhodující fondy jak pro vnitřní potřeby, tak pro vývoz.

Ministerstva strojírenství, příslušné výrobní hospodářské jednotky, vedení podniků a závodů musí přijmout konkrétní opatření k růstu technickoekonomické úrovně produkce a k podstatnému zkrácení inovačního cyklu. Cílem je přivést podniky k zavádění takových konstrukčních a technických řešení, které umožňují úspory paliv, energií a materiálů, řeší stále aktuálnější problémy životního prostředí a vedou k produkci špičkové úrovně.

Oblasti zajímavé pro modernizační činnost v oboru třískového obrábění jsou vysoce produktivní stroje, poloautomatické a automatické stroje a jednoúčelově stavěné stroje.

**Cílem této diplomové práce je konstrukce jednoválcového  
struhového stroje pro dělení tvárného materiálu.**

## 1. DĚLENÍ MATERIÁLU

### 1.1. Úvod

V odborné literatuře jsou dnes uváděny již desítky možných způsobů dělení materiálu, od starších, běžně v praxi používaných, až po nejnovější objevy, využívané zatím jen v laboratorních podmínkách a na širší průmyslové uplatnění dosud čekající. Každý z nich má své klady i zápory, ať již jde o složitost konstrukce, nároky na druh energie a její spotřebu, produktivitu a opotřebení nástroje. Některé z používaných způsobů jsou zde uvedeny. /PODLE 6 a 14/

### 1.2.1. Řezání frikční pilou

Nástrojem je ocelový kotouč pohybující se rychlostí 120 - 150  $\text{ms}^{-1}$ , který se nezahřívá a silně neopotřebovává ani při řezání kalené oceli. Kev se pod kotoučem taví a vytéká z výřezu, tvořeného kotoučem a proudem vzduchu. Částice kovu, slučující se s kyslíkem, tvoří jiskry. Proces řezání frikční pilou závisí na tepelné vodivosti a kapacitě a rovněž na teplotě tavení obráběného materiálu. Frikční pilou lze řezat polotovary z oceli nebo litiny různého profilu a libovolné tvrdosti. Naopak řezání barevných kovů způsobuje tečení materiálu a zanášení kotouče. Pro zkrácení řezného času a rychlejší ohřev sousedních částí materiálu se doporučuje větší rychlost posuvu. Frikční způsob řezání se vyznačuje vysokou produktivitou při malých nákladech na nástroj /náklady na výrobu frikčního kotouče nepřevyšují náklady na zhotovení jednoho segmentu pilového kotouče/.

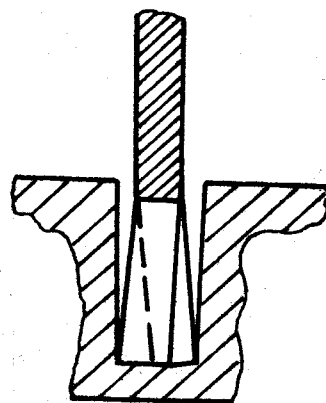
Struktura rozřezaného materiálu se změní jen v zanedbatelné hloubce 0,2 - 0,3 mm. Kotouče se zhotovují z nízkouhlikové nebo chromvanadové oceli s pevností kolem 700 MPa. Celková životnost kotouče je přibližně 15 000 - 20 000 řezů. Prikční metoda se proto s úspěchem používá u těžkoobrobitelných materiálů, na př. manganových, niklových, molybdenových, chromových, wolframových a křemíkových ocelových profilů, podobně i na pancéřovou, litou a nerezavějící ocel a litinu.

### 1.2.2. Řezání na strojní listové pile

Pilové listy jsou pásy z uhlíkové nebo legované nástrojové ocele opatřené zuby buď po jedné straně listu nebo u ručních pilových listů někdy i po obou stranách listu.

Pilové listy se vyrábějí v délce od 300 do 700 mm a síle 0,7 - 3 mm. Počet zubů na délce 35 mm bývá 6, 8, 10, 14, 18, 22 a 28. Podle toho označujeme pilové listy jako listy se zuby hrubými, středními a jemnými.

Aby nedocházelo ke tření boků listů o rozřezávaný materiál, upravají se zuby tak, aby šířka řezu byla větší než síla pilového listu. Úprava se provádí nejčastěji t.zv. rozváděním zubů, t.j. jednotlivé zuby se střídavě vyhnou na levou a pravou stranu /viz obr. 1/ nebo u malých pilových listů pro ruční řezání se část listu opatřená zuby provede zvládná.



Obr. 1

### 1.2.3. Řezání na pásových odřezávacích

Pásová pila je tenčí než pilevý list a má větší počet zubů. Čela pásové pily jsou připájena, čímž vznikne "nekonečná" pila. Rotační pohyb vylučuje nepracovní zpětný chod; pásová pila se může pohybovat pouze jedním směrem. Tyto pily jsou vysoce produktivní a hospodárné řezné nástroje. Mnoho firem vyrábí pásové pily ze středně legované oceli o obsahu 1 % chromu, 1 % vanadu a 3 % wolframomolybdenu. Kalí se jen okraj představující 0,5 - 0,8 výšky zubu. Nejvyšší produktivitu a pevnost mají pily z rychlořezné oceli. Doporučená geometrie při řezání ocelových polotovarů:  $\alpha = 30 + 35^\circ$  ,  $\beta = 44 + 66^\circ$  ,  $\gamma = 0 + 13^\circ$  .

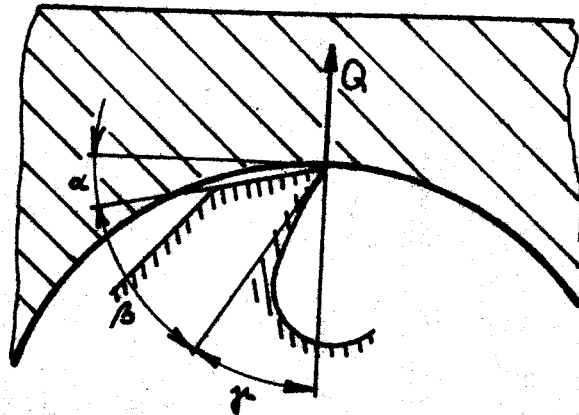
### 1.2.4. Řezání na soustruzích

Tento způsob dělení je určen pro polotovary typu rotačních těles z oceli válcované za tepla nebo tažené za studena. Jako řezný nástroj se používají nože z rychlořezné oceli nebo slitinových karbidů. Řezání se provádí na odřezávacích 2-suportových soustruzích, poloautomatech a automatech. Používá se přitom zařízení automaticky udržující stálou řeznou rychlost, což ušetří až 30 % času. K nedostatkům tohoto dělení materiálu patří poměrně široký řez /3 - 8 mm/, možnost řezání pouze pro materiál kruhového průřezu a omezené rozměry rozřezávaného polotovaru. K přednostem patří jednoduchost a snadná obsluha.

### 1.2.5. Řezání na frézce

Řezání frézami a pilami se provádí na frézkách a speciálně zhotovených zařízeních. Velikost úhlu čela ovlivňuje deformační práci třísky a snížení tření mezi třískou a čelem zubu.

S růstem plastické deformace obráběného materiálu musí velikost úhlu čela růst, naopak se zmenšuje spotřeba energie na svinování třísky, řezná síla i spotřeba výkonu. Při zvětšení úhlu čela na velkou hodnotu se síla  $Q$  /viz obr.2/ stává zápornou a směřuje do obrobku. Vznikají tak síly, které odtrhují sub od tělesa frézy v radiálním směru.



Obr.2

Správný výběr optimálního tvaru subu, velikosti úhlu čela a hřbetu a výběr drážky ovlivní produktivní práci fréz. Frézy se vyrábějí se zesíleným subem. V závislosti na obráběném materiálu a stupni jeho plasticity se doporučují následující hodnoty pro úhel čela a hřbetu:

tab. 1:

Materiál	$\gamma$ [°]	$\alpha$ [°]
měď	25 - 28	7 - 10
ocel: $\sigma_{\text{rt}} = 500$ MPa	18 - 22	6 - 8
$\sigma_{\text{rt}} = 750$ MPa	15 - 20	5 - 7
$\sigma_{\text{rt}} > 750$ MPa	10 - 15	5 - 6



### 1.2.6. Dělení materiálu nůžkami

Dělení nůžkami je produktivní a hospodárný způsob. Pro dělení ocelových plechů o tloušťce 0,5 - 1 mm se používají ruční nůžky o délce 200 - 400 mm. Ve srovnání s těmito ručními nůžkami lze docílit 3 - 4 krát vyšší produktivity použitím nůžek pneumatických. Vysoko produktivní rámové nůžky řezají kov o tloušťce až do 50 mm s délkou řezu do 5 m.

Potřebná řezná síla:

$$F_r = \frac{0,5 s^2 \tau_u}{\operatorname{tg} \alpha} \quad [N]$$

kde je  $s$  - tloušťka plechu /mm/

$\tau_u$  - mez pevnosti při ustřížení /MPa/

$\alpha$  - 2 - 6° - úhel přímo úměrný tloušťce plechu

Řezná síla při řezání materiálu libovolného profilu na lisovacích nůžkách:

$$F_r = S \cdot \sigma_{stx} \quad [N]$$

kde je  $S$  - plocha příčného řezu rozřezávaného profilu /mm<sup>2</sup>/

$\sigma_{stx}$  - mez pevnosti při ustřížení /MPa/, je úměrná úhlu čelistí 7 - 14°

### 1.2.7. Řezání na brusných odřezávačkách

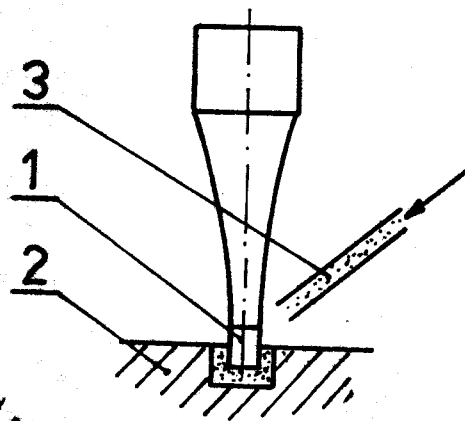
Řezání materiálů o různé tvrdosti brusnými a diamantovými kotouči je jedním z nejnehospodárnějších způsobů na př. brusné

Řezání trubek s nerezavějící oceli je 3 - 6 krát levnější než jiné způsoby. Také povrch po brusném řezání není nutno dále opracovávat. Odchyłka od kolmosti roviny řezu zpravidla nepřevyšuje 0,05 mm, výška mikronevlností při optimální zrnitosti kotouče a režámu řezání 0,002 mm. Šířka řezu je 2 - 3 mm. Daný způsob lze zvláště efektivně využít při dělení těžko obrobitelných materiálů: skla, keramiky, tvrdých slitin, polovodičů, mramoru, ohnivzdorných cihel, porcelánu, žuly, křemene, wolframu a pod. Pro řezání se často používají diamantové kotouče s vločkami ze skleněného vlákna, zvyšující pevnost kotoučů a dovolující provádět řezání při rychlostech až  $80 - 100 \text{ ms}^{-1}$ . Řezání diamantovými kotouči se používá při ručním ovládní, na poloautomatech, pro řezání pod úhlem k ose řezaného materiálu a pod.

#### 1.2.8. Ultrasvukový způsob řezání materiálu

Podstata metody spočívá v tom, že brusná zrna přebírají od kmitajícího nástroje 1  $\chi$  viz obr. 3/ kinetickou energii a tím narušují nejen povrch obrobku /2/, ale také nástroje. Současně působením ultrasvukových kmitů vznikají krátkodobé impulzy tlaku kapaliny až 100 MPa /3/.

Tyto vysokotlaké impulzy způsobují výbuchy drobných plynových bublin,



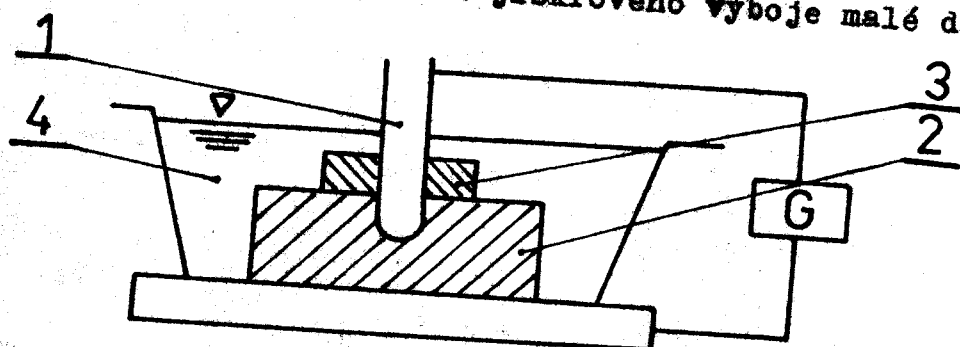
Obr.3

výbuchy působí na brusná zrna, která pak narážejí na obráběný povrch a narušují jej. Důležitou vlastností tohoto způsobu obrábění je skutečnost, že brusná zrna ubírají materiál pouze ve směru kmitání nástroje.

Pro vnikání do materiálu obrobku se musí částice vyznačovat nejen vysokou kinetickou energií, vznikající v důsledku pohybů vibrátoru, ale i určitou tvrdostí, která musí převyšovat tvrdost obráběného materiálu. Ultrazvuk se používá na řezání keramiky, porcelánu, skla, křemene, nevodičů a jiných křehkých materiálů.

#### 1.2.9. Elektrojiskrová metoda řezání /viz obr. 4/

Je založena na využití jiskrového výboje malé délky.



Obr. 4

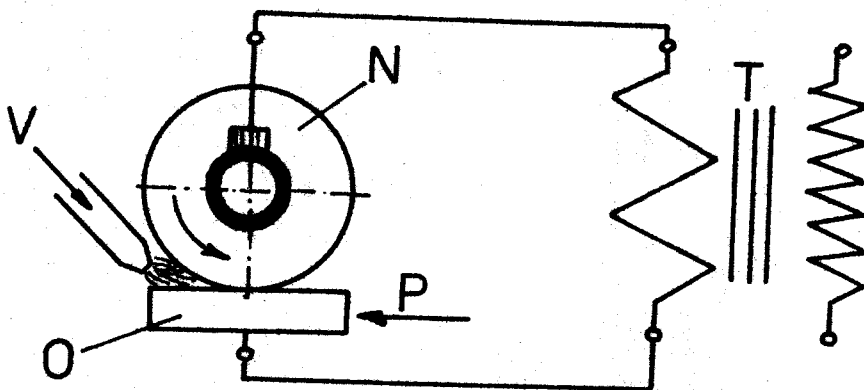
Elektrická energie z generátoru se přivádí na elektrody, z nichž jedna je tvořena nástrojem /1/ a druhá obráběným /2/. Nástroj je přesně veden vodičkou /3/, které je z nevodivého materiálu. Dielektrikem je pracovní kapalina /4/, v níž jsou obě elektrody ponořeny. Nástrojová elektroda se posouvá svisle elektromotorem.

Nástrojové elektrody se vyrábějí z mědi, mosazi, slitin hliníku, šedé litiny a wolframu. Jako pracovní kapaliny se

nejčastěji používá petrolej nebo transformátorový olej. Produktivita řezání je při šířce řezu 3 - 4,5 mm asi 30 - 40 cm<sup>2</sup> min<sup>-1</sup>.

#### 1.2.10 Elektrokontaktní metoda řezání /viz obr. 5/

Podstatou tohoto způsobu obrábění je odporové odtahování materiálu stykem nástrojové elektrody s povrchem obrobku. Nástrojová elektroda má tvar kotouče, který se otáčí obvodovou rychlostí 7 - 15 m/s. Kotouč je z ocele nebo litiny. Nástrojová elektroda i obrobek musí být chlazen.



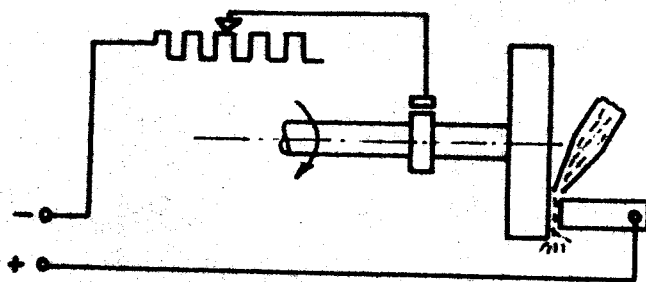
Obr. 5

T - transformátor, N - nástroj, O - obrobek, V - přívod vzduchu nebo vody pro chlazení, P - posuv obrobku

Použití elektrokontaktní metody obrábění je nejvýhodnější na řezání těžkobrobitelných materiálů. Úběr může být značně veliký a to až 500 mm<sup>3</sup>/s při chlazení vzduchem a až 3000 mm<sup>3</sup>/s při chlazení vodou. S ohledem na uvolněné velké množství tepla je tato metoda vhodná pro obrobky větších rozměrů, aby nedošlo k jejich přehřátí a tepelným deformacím.

1.2.11. Anodově - mechanický způsob řezání /viz obr.6/

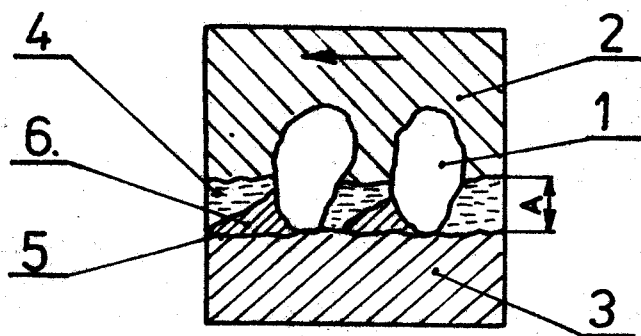
Nástrojem je rotující kotouč vedlivě spojený se záporným pólem elektrického zdroje, obrobek je stejně jako u elektro-  
jiskrové metody spojen s kladným pólem. Mezi obě elektrody se  
přivádí zpravidla křemičitan sodný /vodní sklo/. Účinkem elek-  
trického proudu se na povrchu obrobku vylučuje při obrábění  
vrstvička kysličníku křemičitého a tím se vytvoří nevedivý  
povlak, který zabraňuje přímému kovovému styku obou elektrod.  
Poněvadž stykové plochy obou elektrod mají určitou drsnost,  
přiblíží se při relativním pohybu výstupky jejich ploch tak,  
že se navzájem dotknou. Tím se poněkud poruší anodový film  
na obrobku a v tomto místě přeskóčí jiskra. Účinek jiskry je  
stejný jako u běžného elektrojiskrového obrábění. Relativním  
pohybem obou elektrod se mění vzájemná poloha, což umožňuje  
vznik dalších výbojů.



Obr.6

Anodomechanické obrábění se používá pro rozřezávání  
nesnadno obrobitelných materiálů.

### 1.2.12. Elektrolytická metoda řezání /obr. 7/



Obr. 7

Při elektrolytickém způsobu řezání brusná nebo diamantová zrna kotouče /1/, upevněná v kotouči elektricky vodivým pojivem /2/, vytvářejí mezi elektricky vodivým obrobkem /3/ mezi-

elektrodovou vrstvou /A/. Do této mezery se neustále přivádí pracovní elektrolyt /4/. Elektrický proud, tekoucí od obrobku /anody/, prochází přes vodivý elektrolyt. Obrobek podléhá elektrolytickému anodovému rozpouštění. Vznikající pevný film /5/ a produkty anodového rozpouštění /6/ odstraňují zrna kotouče /1/, který vykonává rotační a posuvný pohyb. Optimální mezielektrodová mezera A - 0,05 mm. Množství materiálu, odebraného elektrochemickou cestou, je nepřímo úměrné velikosti mezery A. Brusný kotouč slouží jako katoda, přičemž napětí nemá převýšit 8 V při velikosti proudu  $100 \text{ A cm}^{-2}$ .

### 1.2.13. Řezání materiálu proudem plazmy

Plazma je silně ionizovaný plyn, který se skládá ze stejného množství kladných a záporných částic. Vyšší teplota plynu usnadňuje jeho ionizaci a při teplotách nad  $5\ 000^{\circ}\text{C}$  jsou plyny již velmi dobrými vodiči.

Podstata řezání proudem plazmy spočívá v postupném odtavování materiálu. Vysokou teplotou plazmy, která dosahuje  $16\ 000 - 20\ 000^{\circ}\text{C}$ , se částice kovu odtavují a odpařují velmi

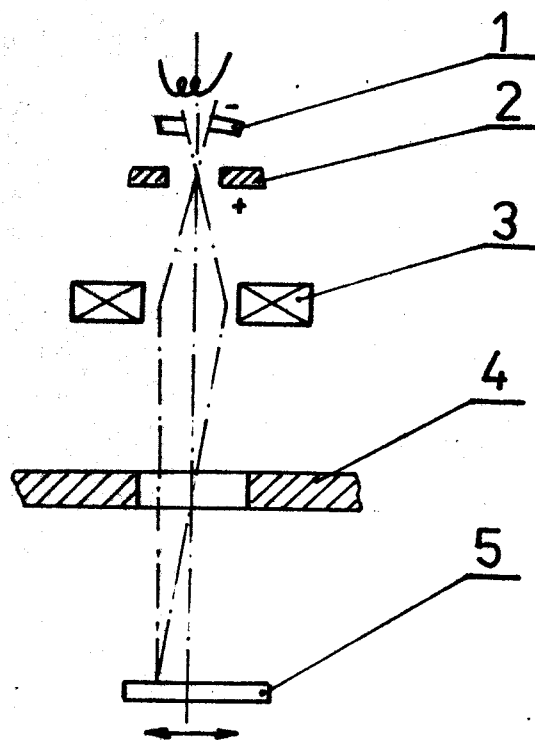
rychle, takže teplo neproniká do větších hloubky pod obrobenou plochou a materiál obrobku se příliš nezahřívá. Hloubka teplem ovlivněné vrstvy je asi 0,3 - 1 mm a je ji proto možno některou dokončovací metodou odstranit.

Řezání se uskutečňuje s vysokou produktivitou, malou drsností povrchu a poměrně úzkou oblastí termického a chemického vlivu. Proudem plazmy se lehce řeže wolfram, molybden, tantal, permanentní magnety, keramika, tvrdé slitiny, ferity a jiné těžkoobrobitelné materiály.

#### 1.2.14. Řezání materiálu proudem elektronů /viz obr. 8/

Metoda využívá energie paprsků soustředěných na velmi malou plochu obrobku. V místě dopadu se jejich kinetická energie přemění v energii tepelnou, kterou se materiál taví a odpařuje.

Katodový zářič /1/ vysílající elektrony je napájen z generátoru vysokého napětí 30 - 150 KV, který urychluje elektrony až na 1/4 rychlosti světla. Elektrony vytvářejí svazek, jenž prochází dírou v anodě /2/, potom se v elektromagnetické čočce /3/ usměrňuje a dopadá na obrobek /4/. Vychylování svazku elektronů při obrábění tvarových děr se docílí cívkou /5/.



Obr. 8

Řezání závisí na výkonu paprsku a na tepelně-fyzikálních vlastnostech obráběného materiálu. Mechanické vlastnosti materiálu nevykazují podstatný vliv na proces řezání. Soustředěný a usměrněný tok elektronů je nepotřebovatelný řezný nástroj. Nevýhodou je, že obrobek musí být umístěn ve vakuové komoře.

## 2. Výpočet strojních časů u různých způsobů dělení tyčového materiálu uváděných různými autory

### 2.1. Úvod

Úkolem diplomové práce je konstrukce jednocíselového stroje na dělení tyčového materiálu. Děleným materiálem jsou tyče z materiálu 15 260. Délka výchozího materiálu se uvažuje 5 000 - 6 000 mm, délka již hotových kusů  $l = 70 - 110$  mm průměru 4,5 - 11 mm. Požadovaná produkce je 3 000 000 kusů za rok, z čehož vyplývá že při jednosměrném provozu a 250ti pracovních dnech je čas na 1 kus 2,4 s.

### 2.2. Výpočet strojních časů

#### 2.2.1. Výpočet pro kotoučové, pásové a rámové pily podle /16/

##### Pro kotoučové pily

Průměrný výkon dělení vyjádřený v  $\text{cm}^2$  odřezávané plochy za 1 minutu je u oceli /není uvedena třída oceli/  $5-21 \text{ cm}^2 \text{ min}^{-1}$ . Při volbě  $15 \text{ cm}^2 \text{ min}^{-1}$  pro  $\varnothing 11$  mm je čas na jeden kus 3,8 s.

##### Pro pásové pily / 5 - 10 $\text{cm}^2 \text{ min}^{-1}$ /

Při volbě  $7,5 \text{ cm}^2 \text{ min}^{-1}$  pro  $\varnothing 11$  mm je čas na jeden kus 7,6 s.

##### Pro rámové pily / 3 - 8 $\text{cm}^2 \text{ min}^{-1}$ /

Při volbě  $5,5 \text{ cm}^2 \text{ min}^{-1}$  pro  $\varnothing 11$  mm je čas na jeden kus 10,36 s.

## 2.2.2. Výpočet pro frézování a seustružení podle /8/

### Pro frézování

Materiál 15 260 má třídu obrobiteľnosti 11 b. Pro třídu obrobiteľnosti 11 a vyplývá z normativů:

Ketoučová pila s polohrubým ozubením z nástrojové oceli rychlořezné

$$\begin{array}{ll} D = 160 \text{ mm} & V = 20 - 21 \text{ m min}^{-1} \\ b = 2,5 \text{ mm} & s_z = 0,014 - 0,028 \text{ mm zub}^{-1} \\ z = 78 & h = 10 - 20 \text{ mm} \end{array}$$

Interpolací zjistíme řeznou rychlost pro  $h = 11 \text{ mm}$

$$\frac{v_1 - v_2}{h_2 - h_1} = \frac{21 - 20}{20 - 10} = 0,1$$

Pro  $h = 11 \text{ mm}$  je řezná rychlost  $v = 20,1 \text{ m min}^{-1}$

Interpolace posuvu na zub  $s_z$

$$\frac{s_{z2} - s_{z1}}{h_2 - h_1} = \frac{0,028 - 0,014}{20 - 10} = 0,0014$$

Pro  $h = 11 \text{ mm}$  je posuv na zub  $s_z = 0,0154 \text{ mm}$ .

Jelikož máme třídu obrobiteľnosti 11 b a né 11 a přepočteme řeznou rychlost na požadovanou obrobiteľnost pomocí koeficientu  $k_v = 0,695$ , takže  $v_{11b} = 13,96 \text{ m min}^{-1}$ .

Trvanlivost ostří je  $T = 90 \text{ min}$ ,

$$v_{11b} = 13,96 \text{ m min}^{-1}, n_T = 5, T_{opt} = 420 \text{ min}$$

$$v_{opt} = v \sqrt[5]{\frac{T}{T_{opt}}} = 13,96 \sqrt[5]{\frac{90}{420}} = 10,3 \text{ mmin}^{-1} \quad \checkmark$$

### Výpočet otáček

$$n = \frac{1000 \cdot v_{opt}}{\pi \cdot D} = \frac{1000 \cdot 10,3}{\pi \cdot 160} = 20,5 \text{ min}^{-1}$$

### Posuv za minutu

$$s_m = s_z \cdot z \cdot n = 0,0154 \cdot 78 \cdot 20,5 = 24,62 \text{ mm min}^{-1}$$

### Strojní čas

$$t_{st} = \frac{L}{s_m} = \frac{l + l_1}{s_m} = \frac{12 + 1}{24,62} = 0,527 \text{ min} = 31,68 \text{ s}$$

### Pro soustružení

Z normativů vyplývá pro  $\phi$  materiálu 11 mm:

$$b_u = 3 \text{ mm}, \quad n = 1083 \text{ min}^{-1}, \quad s = 0,08 \text{ mm/ot}$$

Pro třídu obrobitelnosti 11 b jsou otáčky:

$$n_{11b} = \frac{n \cdot 0,5}{2} = \frac{1083 \cdot 0,5}{2} = 270 \text{ min}^{-1} = 4,5 \text{ s}^{-1}$$

### Strojní čas

$$t = \frac{L}{n \cdot s} = \frac{5,5}{4,5 \cdot 0,08} = 15,27 \text{ s}$$

### 2.2.3. Výpočet pro frézování podle /9/

Velín:  $D = 60 \text{ mm}, \quad z = 34, \quad b = 1,5 \text{ mm},$

$$v = 18 \text{ m min}^{-1}, \quad s_z = 0,025 \text{ mm zub}^{-1}$$

### Výpočet otáček

$$n = \frac{1000 \cdot v_{opt}}{\pi \cdot D} = \frac{1000 \cdot 18}{\pi \cdot 60} = 95,5 \text{ min}^{-1}$$

### Posuv za minutu

$$s_m = s_z \cdot z \cdot n = 0,025 \cdot 34 \cdot 95,5 = 81,17 \text{ mm min}^{-1}$$

### Strojní čas

$$t_{st} = \frac{L}{s_m} = \frac{l + l_1}{s_m} = \frac{12 + 1}{81,17} = 0,1602 \text{ min} = 9,6 \text{ s}$$

### 2.2.4. Výpočet pro řezací brusky podle /7/

Příklady výkonu automatické řezací brusky /pro práci s chlazením/ při řezání tyčí z oceli /není udána třída oceli/ ve svazcích.

Řezaný $\varnothing$ /mm/	6,4	12,7
Najednou se řeže kusů	28	15
Čas k přeřiznutí /s/	14	27
Čas pracovního cyklu /s/	24	37
Kotouč vydrží řezů	10 700	2 900

### 2.2.5. Výpočet pro upichování R0 noži a řezání R0 pilami

Řezání R0 pilami se používá na JUS na dělení materiálu v Nářadí Česká Lípa pro materiál 15260

Řezné podmínky:  $v = 25 \text{ m min}^{-1}$

$$s_z = 0,02 \text{ mm sub}^{-1}$$

$$D = 250 \text{ mm} \quad z = 200$$

### Výpočet otáček

$$n = \frac{1000 \cdot v}{\pi \cdot D} = \frac{1000 \cdot 25}{\pi \cdot 250} = 31,3 \text{ min}^{-1}$$

### Posuv za minutu

$$s_m = s_z \cdot s \cdot n = 0,02 \cdot 200 \cdot 31,3 = 125,2 \text{ mm min}^{-1}$$

### Strojní čas

$$t_{st} = \frac{L}{s_m} = \frac{l + l_1}{s_m} = \frac{12 + 1}{125,2} = 0,108 \text{ min} = 6,5 \text{ s}$$

Upichování RO noži - použito na upichovače tyčového materiálu fy Gühring.

Rezné podmínky:  $v = 15 \text{ m min}^{-1}$

$$s = 0,15 \text{ mm ot}^{-1}$$

### Výpočet otáček

$$n = \frac{1000 \cdot v}{\pi \cdot D} = \frac{1000 \cdot 15}{\pi \cdot 11} = 434 \text{ min}^{-1} = 7,2 \text{ s}^{-1}$$

### Strojní čas

$$t_{st} = \frac{L}{n \cdot s} = \frac{5,5}{7,2 \cdot 0,15} = 5,09 \text{ s}$$

Z uvedených výpočtů plyne závěr, že volba rezných podmínek není jednotná a závisí na děleném materiálu, podmínkách výroby a na žádané kvalitě plech materiálů.

Pro návrh jednoúčelového stroje na dělení tyčového materiálu jsou vzhledem k produktivitě výroby všechny uvedené způsoby dělení časově příliš dlouhé. Z toho důvodu volím jako způsob dělení STRIHÁNÍ, které uvedené produktivitě výroby plně vyhovuje.



Spojka a hrota - tlaci jednovalecova s vnitrkovym oblepenim.

**Technická specifikace** Elektromechanické, dvovrubné - tlakovy, nebo vnitr-šlapkov elektrické nebo pneumatické. Časť hrota lze nahradit na jednotlivé závity, na trvalý bpa, nebo po přídavcích při sestavování nástroje.

**Technická specifikace** Ústřední, pomocné - tlaková soustava přístrojů s pohybem odvozeným od stroje.

**Technická specifikace** Sestava, pojistka v berann, vnitr-šlapkové vidlice sestavy ve středě s elektromechanikou, tlakový systém.

**Technická specifikace**

Impedance síla	250 kN
Impedance hrota /pouze velikosti závity 3/	0,6 - 5,7 mm <sup>2</sup>
Impedance hrota při jednotlivých závitech /při trvalém chodu/	710/360 J
Hrota povrch při odřívání plocha pevnosti 400 MPa.	
Impedance tloušťka - při jednotlivých závitech	6 mm
při trvalém chodu	3 mm
Impedance odřívání plocha	630 mm <sup>2</sup>
Teplota odřívání hrota na sílu	71
Teplota vyklisování závity hrota na sílu	40
Výrobek A	190
Výrobek B	220
Výrobek C	220
Impedance hrota I	6 - 98 mm
Impedance hrota II	55 mm
Impedance plocha stala $l_1 \cdot b_1$	530 . 370 mm

Typowa struktura 2,2 MW  
 Spotrzebie mechaniczne wartości na 1 segmenty spójny 3 dm<sup>3</sup>  
 Długość linki  $a + b$  na 1025 = 1400  
 $v_{linka} \cdot v$  na 1920  
 Długość linki 1980 kg  
 Wytrzymałość antym wytrzymałość  $\rho \cdot a/b$  32/60 mm

2.1.3. Wzrosty mechaniczne wartości na 1 segmenty spójny  
Wzrosty mechaniczne wartości na 1 segmenty spójny

Wzrosty mechaniczne wartości na 1 segmenty spójny  
 Długość linki  $a + b + c$

$$a = 0,128 \text{ m}, \quad b = 0,04 \text{ m}, \quad c = 0,135 \text{ m} \\
 V = a \cdot b \cdot c = 0,128 \cdot 0,04 \cdot 0,135 = 0,00069 \text{ m}^3$$

$$\rho = 7800 \text{ kg/m}^3 \\
 G = V \cdot \rho = 0,00069 \cdot 7800 = 5,38 \text{ kg} \approx 5,4 \text{ kg}$$

Wzrosty mechaniczne wartości

$$d_1 = 20,05 \text{ mm}, \quad d_2 = 3,15 \text{ mm}, \quad d_3 = 20 \text{ mm}$$

$$i = \frac{d_1}{d_2} = \frac{20,05}{3,15} = 6,37$$

Wzrosty mechaniczne wartości

$$K = \frac{d_1 + d_2}{i - 1} = \frac{20,05 + 3,15}{6,37 - 1} = 4,16$$

Wzrosty mechaniczne wartości

$$\tau_{DK} = 432 \text{ MPa}$$

$$F_2 = \frac{\pi \cdot \tau_{DK} \cdot d_2^3}{6 \cdot d_1 \cdot K} = \frac{\pi \cdot 432 \cdot 3,15^3}{6 \cdot 20,05 \cdot 4,16} = 166 \text{ N}$$

**Primer 1.1.1.1**

$$a = \frac{a_0 \cdot a_1}{a_0 + a_1} = \frac{20 \cdot 65 \text{ mm} \cdot 3,15}{20 + 65 + 3,15} = 5 \text{ mm}$$

**Primer 1.1.1.2**

$$a = a_0 + a_1 = 5 + 2 = 7$$

**Primer 1.1.1.3**

$$a_0 = 4,75 \text{ mm} \cdot 0,35 = 1,6625$$

**Primer 1.1.1.4**

$$l_0 = a_0 \cdot a_1 = 7 \cdot 3,15 = 22 \text{ mm}$$

$$l_0 = l_0 + \frac{1}{n} \cdot l_0 = 22 + \frac{1}{7} \cdot 22 = 25,43 \text{ mm}$$

**Primer 1.1.1.5**

$$l_2 = l_0 + \frac{1}{n} \cdot a_1 = 25,43 + \frac{1}{20} \cdot 65 = 28,68 \text{ mm}$$

**Primer 1.1.1.6**

$$l_0 = l_0 + a_0 = 25,43 + 20 = 45,43 \text{ mm}$$

**Primer**

$$t = \frac{a_0}{n} + a_1 = \frac{25,43}{5} + 3,15 = 8,40 \text{ mm}$$

**1.1.4. Zbirna naloga**

Primer 1.1.4. je upravljanje na stališih linijah pomeni štiri črte. Linije so razporejene tako, da je polna vrsta barva.

Na vsaki liniji stoji ena vrsta barve in polna vrsta barve. Na vsaki liniji je tudi vrsta barve, ki jo vsebuje polna.

Na pohyblivých nosicích vedených ve dvou rovinách působí kromě tíhy, kterou způsobí vlastní tíha a setrvačností pohyblivého nosiče do krajní polohy. Z výše uvedených nosičů se významně odlišují nosiči s tzv. tlakovými pružinami.

V této soustavě jsou kromě otvory, do nichž jsou namontovány nosiče. Měly by být nosiče jednoduše, které mají velký počet otvůrů. Každý otvor je určen ke vložení jednoho nebo více materiálů. Každý otvor je v nosiči umístěn pomocí šroubů, které umožňují odvíjení materiálů do jedné a druhé strany nosiče.

Materiál se namontuje do otvorů na různé povrchy nosiče. Významnou výhodou tohoto je, že se otvory nosiče mohou použít jako jednoznačné prostředky a lze je opět použít.



plátnový a papírový ovčák klínový Semany. Klínový ovčák  
je tak naplněn pomocí vzdušné směsi a tím také prováděn  
jejich výhled.

### **Upravení**

Upravení ovčáků provádějí muži z branné jednotky, kterým  
se ukládá udržovat ovčák. Aby se jim to podařilo, musí být  
ovčák v dobrém stavu, jak o něm branná jednotka byla již  
informována. Jakmile dojde k porušení ovčáka, vyhledá  
se branná jednotka ovčáka. Cílem je vyhledání branné  
jednotky je velmi důležitá práce. Ovčák slouží k vy-  
hledání "nepřítelů" ovčáka. Je jich několik "nepřítelů" je  
branná jednotka z ovčáka a na druhé straně ovčák, který musí  
být vždy a více lidí, aby se jim to podařilo. Branná jednotka  
z ovčáka ovčák. Aby bylo možné udržet ovčák v dobrém  
stavu, lze o něm říci i jako o přístroji a udržovat, pomocí  
ovčáka ovčák, že ovčák je velmi důležitá práce.  
Tato práce se provádí i s ovčákem. Ovčák, při své  
práci ovčák ovčák je velmi důležitá práce ovčák ovčák  
ovčák ovčák.

Je třeba ovčák ovčák ovčák ovčák ovčák ovčák,  
je ovčák ovčák ovčák ovčák ovčák ovčák.

### **4.2.1. Upravení ovčáka /12.2.14/**

#### **Upravení ovčáka**

Upravení ovčáka je velmi důležitá práce ovčák ovčák  
ovčák ovčák. Ovčák má být 20 - 60 m<sup>2</sup>.

Volíme motor typu IAP 63-2

výkon  $P = 250 \text{ W}$ , otáčky  $n = 2730 \text{ min}^{-1}$

300 V, 50 Hz, tvar H 301

201 jednotka kroužkové kotouče 150 mm je obvodová rychlost:

$$v = \frac{\pi D \cdot n}{1000} = \frac{\pi \cdot 150 \cdot 45,5}{1000} = 21,4 \text{ m s}^{-1}$$

#### Elektronický měřič

201 je měřič rychlosti s číselným displejem na analýzu kroužkové kotouče.

Volíme motor typu IAP 63-2

výkon  $P = 75 \text{ W}$ , otáčky  $n = 900 \text{ min}^{-1}$

o průměru  $l = 60$

Výstupní otáčky elektromotora jsou  $n_2 = 11,25 \text{ min}^{-1}$ .

Průměr měřiče je 25 mm, průměr kotouče je 150 mm a jeho rychlost je  $21,4 \text{ m s}^{-1}$  a to pomocí převodu  $i = 3,75$ .

#### Elektronický měřič

201 měřič rychlosti elektromotora je měřič s číselným displejem, kterým se měří otáčky v minutě, číselný displej ukazuje rychlost kotouče jeho obvod. Obvodová rychlost kotouče je  $0,15 - 0,75 \text{ m s}^{-1}$ .

Volíme převodový motor s jedním stupněm převodu typu IAP 63 - 145

průměr  $27 \text{ mm}$ , otáčky  $n = 112,5 \text{ min}^{-1}$

250/250 V, 50 Hz, tvar H 301

Elektronický měřič rychlosti kotouče

$$v = \frac{\pi D \cdot n}{1000} = \frac{\pi \cdot 27 \cdot 112,5}{1000} = 9,5 \text{ m s}^{-1}$$



Stroušek krouží podél vrstvy polye v rychlosti  $0,2 \text{ ms}^{-1}$   
 tloušťka odtrhované vrstvy má 1 políček  $0,01 \text{ mm}$   
 Největší síly byly naměřeny v klenčce  $0,7 \text{ mm}$ , kdy je brzdění  
 působí největší.

$$F_H = 96,22 \text{ N}, \quad F_V = 62,5 \text{ N}$$

Výsledná síla při brzdění

$$F_T = \sqrt{F_H^2 + F_V^2} = \sqrt{96,22^2 + 62,5^2} = 114 \text{ N} \quad \checkmark$$

4.2.3. Výpočet momentu brzdy s klenčkou při odtržení  
 vlákn /1/

$$\omega = 11,35 \text{ min}^{-1}, \quad l = 3,75$$

Váha klenčky

Klenka je tvořena dvěma válci rovněž s hustotou  $\rho = 10 \text{ mm}$  a  
 s klenkou  $0,6 \text{ mm}$ , průměry  $d_1 = 10$ ,  $d_2 = 60 \text{ mm}$ ,  $z = 210 \text{ mm}$   
Průměr klenčkové

$$z_1 = z_2 = 210 : 10 = 21$$

$$z_2 = z_1 = 60 - 10 = 50$$

V tabulce 1. 5 v příloze pro  $z_2 = z_1 = 50$  klenčkové největší  
 moment je 51. Další moment je 50,876. Nad tento moment  
 odtržení pro  $z_2 = z_1 = 120 \Rightarrow z_2 = 120 + z_1 = 120 + 10 = 130$   
 tato klenčková moment 27219054.

Průměr klenčkové

$$z_2 = z_1 = 120$$

$$z_1 = z_2 = 50$$

V tabulce největší moment pro tuto klenku je 50,876.

nová vzdálenost

$$a = 90,876 \cdot t_2 = 90,876 \cdot 10 = 908,76 \text{ mm} \quad \checkmark$$

Nová vzdálenost

$$a = 3,183 \text{ mm} \quad \delta_a = 0,125 \text{ mm}$$

$$d_{y21} = a \cdot s_1 + \delta_a = 3,183 \cdot 18 + 0,125 = 57,4 \text{ mm}$$

$$d_{y22} = a \cdot s_2 + \delta_a = 3,183 \cdot 68 + 0,125 = 216,6 \text{ mm}$$

$$d_{z1} = d_{y21} - 2a = 57,4 - 2 \cdot 3,183 = 51,034 \text{ mm}$$

$$d_{z2} = d_{y22} - 2a = 216,6 - 2 \cdot 3,183 = 210,234 \text{ mm}$$

$$v = \pi \cdot d_{z1} \cdot s_2 = \pi \cdot 0,0572 \cdot 0,0875 = 0,0530 \text{ mm} \quad \checkmark$$

Nová vzdálenost

$$\sin \alpha = \frac{d_{z2} - d_{z1}}{2a} = \frac{210,234 - 51,034}{2 \cdot 908,76} = 0,1565 \Rightarrow \alpha = 9^\circ$$

$$\beta = 180^\circ - 2\alpha = 180^\circ - 18^\circ = 162^\circ$$

$$s_2 = \frac{a \cdot \sin \beta}{360} = \frac{908,76 \cdot \sin 162^\circ}{360} = 0,1$$

Nová síla

Nová síla experimentální  $F = 64 \text{ N}$

pro vzhled však zvolili sílu  $F = 200 \text{ N}$

Nová síla

$$a = 2,5 \text{ mm} \quad h_2 = 2,5 \text{ mm} \quad p = 1,3 \text{ MPa}$$

$$b = \frac{F}{p \cdot h_2} = \frac{200}{1,3 \cdot 2,5} = 61,5 \text{ mm}$$

Nová síla  $b = 20 \text{ mm}$

Nová síla zvolili zvolili zvolili zvolili zvolili zvolili zvolili zvolili zvolili zvolili

nová síla zvolili zvolili zvolili zvolili zvolili zvolili zvolili zvolili zvolili zvolili

pro průměr  $a_2 = 60$  mm drážky 3,5/3 = 50 . ✓

#### 4.2.4 Určení průměru šroubu a šroubového závitu

Průměr šroubu  $d_2$

$$n_1 = 112,5 \text{ mm}^{-1} \quad i = 1,733$$

#### Tabulka šroubu

Prole průměrem zvolíme velikost šroubu a restová  $t_2 = 6,265$  mm  
a šroubu 0,3 mm. Průměry  $a_1 = 20$ ,  $a_2 = 35$  mm,  $a = 227,3$  mm

#### Průměr šroubového závitu

$$a + t_2 = 227,3 + 6,265 = 233,565$$

$$a_2 - a_1 = 35 - 20 = 15$$

V tabulce č. 3, v řádku  $a_2 - a_1 = 15$  nalezneme nejbližší hodnotu  
je 36,106. Nejbližší hodnota je 36,171. Nad tímto číslem odčítáme  
pro  $a_1 - a_2 = 20 \Rightarrow a_1 = 100$ , tedy odpovídá šroubu 272213030. ✓

#### Průměr šroubového závitu

$$a_1 - a_2 = 20 \quad a_2 - a_1 = 15$$

A tabulky odčítáme hodnotu pro tuto šroubu je 36,171.

$$\text{Nová velikost } a = 36,171 \cdot t_2 = 36,171 \cdot 6,265 = 226,61 \text{ mm} \quad ✓$$

#### Průměr šroubu

$$a = 1,9945 \text{ mm} \quad \Delta a = 0,125 \text{ mm}$$

$$d_{\text{vt1}} = a \cdot a_1 + \Delta a = 1,9945 \cdot 20 + 0,125 = 40 \text{ mm}$$

$$d_{\text{vt2}} = a \cdot a_2 + \Delta a = 1,9945 \cdot 35 + 0,125 = 70 \text{ mm}$$

$$d_{\text{z1}} = d_{\text{vt1}} - 2s = 40 - 0,9 = 39,1 \text{ mm}$$

$$d_{\text{z2}} = d_{\text{vt2}} - 2s = 70 - 0,9 = 69,1 \text{ mm}$$





napřijde upnutí tyč, nastanou mechanismy v klidu ve výchozí poloze.

### 5.3. Technická zpráva

K posuvu materiálu na přesnou délku je určen PoS s měřitelnou délkou sčítka pomocí PES a s vjezdovým čelistmi pro různé průměry materiálu. Na supertu jsou uchyceny 3 páry opěrných válečků OP vjezdově představitelných /pomocí šroubu a matice/ podle průměru tyče. K dlouhému podání materiálu se zásobníku je určen SDP přichycený k samé superte. SDP a PS pracují stále se stejnými čelistmi. Základní tvoří dostatečně tuhá konstrukce, která navíc umožňuje plnění zásobníku pomocí vysokotlakého vzduchu.

### 5.4. Průběh práce na ustálení

K ustálení dochází mezi posuvem a pohyblivým nosníkem příprava P. Pohyblivá část, uložená na dvou pružinách je stlačena s tyčí barvanou B. Ustálená tyč ve spodní poloze naráží na mikrospínač MS 2 a ten dá signál k rozsvícení čelistí PS a k sevření čelistí PoS. Barva a pohyblivá část příprava s ustáleným kusem tyče jde nahoru. Po dojetí PoS na PES se čelisti PoS otevrou a čelisti PS se sevrou. PoS odjíždí do výchozí polohy. Tím dochází nejen k podání na míru, ale i k vyčistění ustáleného kusu s přípravou. První kus nové tyče i poslední kus staré tyče jsou smetky.

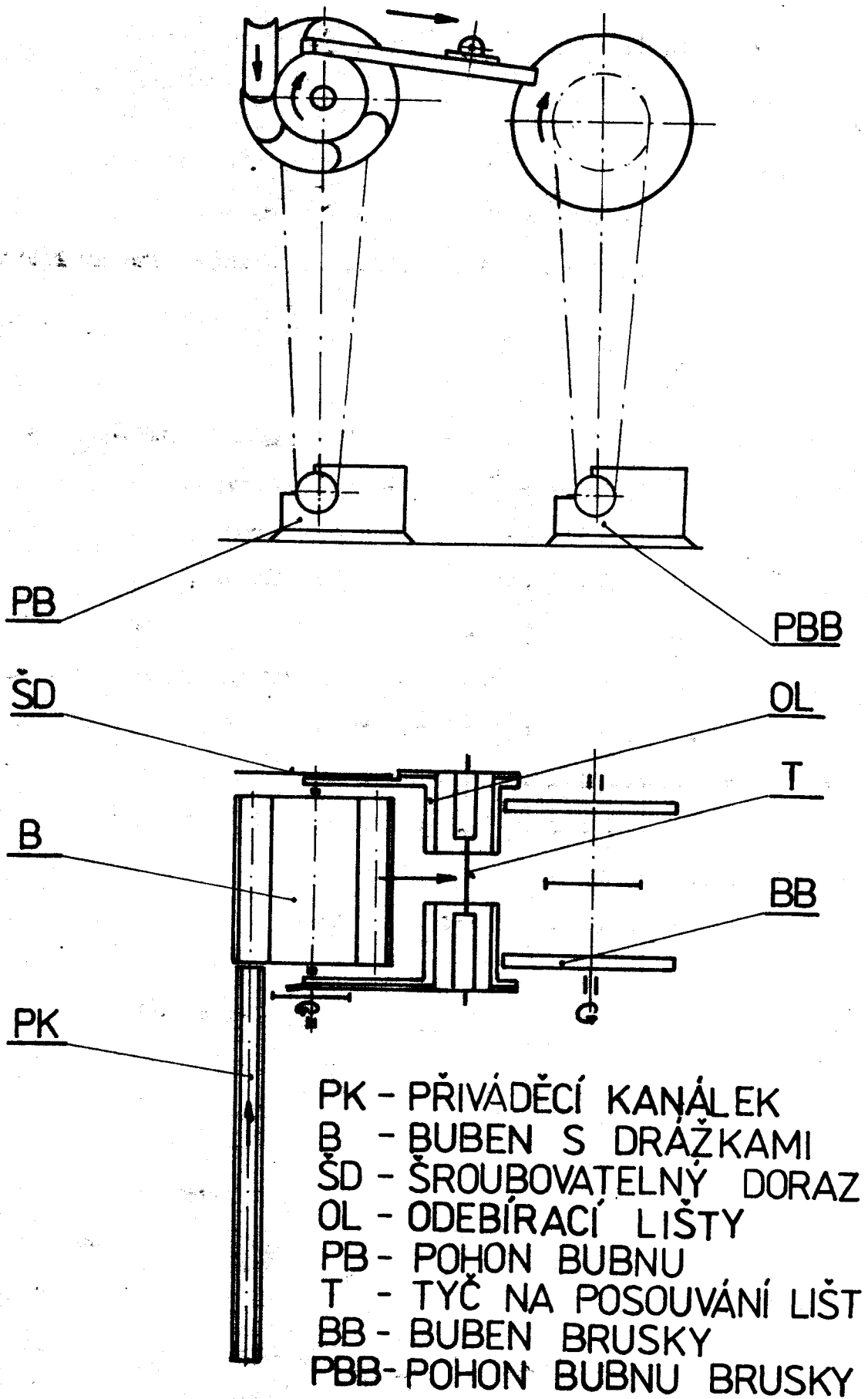
### 5.5. Příprava nové tyče

Jakmile přejde stará tyč poslední OP, dá mikrospínač MS 1 umístěný na níže signál k přemístění rezervního hydromotoru HM 1

do polohy 1 a tím dojde k vymanutí nové tyče ze zásobníku. Tyč vlastně tímto spíjí po vedení do OP. V okamžiku, kdy narazí NS 1 na konečný spínač KS 1 se přestaví rozvaděč NM 1 do polohy 2 /vyzvednutí nářadí se vrátí do výchozí tj. spodní polohy/ a zároveň s ním se přestaví rozvaděč NM 2 z polohy 2 do polohy 1 /nastává sevření tyče SEP/. Po sevření tyče dostává signál rozvaděč NM 4 k přestavení z polohy 0 do polohy 1. Tyč se posouvá na otevřené čelisti PoS. Po dojetí SEP na konečný spínač KS 2 dochází k přestavení rozvaděče NM 2 z polohy 1 do polohy 2 /čelisti SEP se otevřou/. Po otevření čelistí SEP dochází k přestavení rozvaděče NM 4 z polohy 1 do polohy 2 /SEP se vrátí do výchozí polohy/.



# SCHÉMA ODEBÍRACÍHO ZAŘÍZENÍ



Obr. 10

## 7. Ekonomická účinnost

vyžadují se stávající stavů a nové technologie, přičemž stávající technologie je schopná 20 pilonů na JIS pro dlezení materiálů 25 200, průmyslové a silnice dlezení lize. Novou technologií je nová technologie JIS.

Výpočet potřebné času pro dlezení materiálů  
 2500000 pilonů při 250 průmyslových dlezení,  
 jednotkově provedení, výkon 3 000 000 kg  
 výkon a spotřeba času na dlezení 1 kg 4,5 s • 5 416 hodin

Výpočet potřebné času pro dlezení materiálů  
 20 lize při 250 průmyslových dlezení, jednot-  
 kově provedení, výkon 3 000 000 kg  
 výkon a spotřeba času na dlezení 1 kg 2,4 s • 2 000 hodin

Výpočet účinnosti na dlezení materiálů v poměru 3 000 000 kg výkon:

	Průmyslové pilony	Lize
Průmyslové pilony 6 200 9 kg/kg/hod.	9418.90 40744 kg	2000.9 18000 kg
Průmyslové pilony /výkon. při 3000/ 100	3139.64 17253 kg	18000.154 63750 kg
Průmyslové pilony na průmyslové pil. na dlezení na průmyslové pilony	821 897 kg	81 720 kg
Průmyslové pilony	139 977 kg	

**Výdělání nákladů na pořízení IP pro novou technologii:**

Kia KM27 25 - A	80.000 Kčs
Bruska J08	48.000 Kčs
Průmyslové a nástroje	19.500 Kčs
Manipulační zařízení	56.000 Kčs
<hr/>	
Jednorázové investiční náklady celkem	197.500 Kčs

**Výsledek doby investice**

$$T_n = \frac{197.500}{139.577} = 1,41 \text{ roků}$$

**Podmínky návratu**

$$\text{Potřeba pracovníků pro starou technologii} = \frac{5.416}{2.026} = 2,67$$

$$\text{Potřeba pracovníků pro novou technologii} = \frac{2.000}{2.026} = 0,99$$

Investice nové technologie pokrývá nároky na počet pracovníků o 1,68 pracovníka a potřeba času pro dělení o 3 416 hodin.

## Z Á V Ě Š T

Diplomová práce řeší podle základní konstrukci jedno-  
účelového stroje pro účelů tyčového materiálu. Podle zámě-  
rů výrobce jsou navrhl lis a skonstruoval vhodný přístroj  
na stříhání tyčového materiálu, vyrobil brusku na srážení  
obřezá vnějších stříháním a navrhl podávací a odbírací  
zařízení. Pro praktické využití by bylo nutno podrobněji  
rozpracovat jednotlivé části podávacího a odbíracího zaří-  
zení, jako např. způsob spojení elektřického obvodu podáv-  
acího zařízení, aby tento zajišťoval činnost hydromotorů  
podle pracovního cyklu a dále vyřešit konstrukci posuvného  
ovládání a ovládání dlouhého posuvu.

Na závěr bych chtěl poděkovat ing. O. Masilovi a  
dalším pracovníkům NÚM za cenné rady a připomínky při vypra-  
cování diplomové práce.

V Liberci dne 4. června 1982.

*Petr Pavl*

## SEZNAM ROŠIČŮ LITERATURY

- |      |                   |   |
|------|-------------------|---|
| /1/  | Pis:              | Obráběcí stroje   |
| /2/  | Křivák:           | Truhlářství a prvky ve strojírenství  |
| /3/  | Křivák, Musilová: | Teorie obrábění   |
| /4/  | Křivák:           | Výroba nástrojů v oboru<br>vrtáckých strojů   |
| /5/  | Geroškin:         | Připravení díla metalocukáckých<br>strojů   |
| /6/  | Kaltanová:        | Konstrukce jednoválceho zařízení pro<br>dělání a navrtávání materiálů<br>/diplomová práce/ /Fakulta strojírenská 1981 |
| /7/  | Dobrovolaň:       | Řezání kovů pilami  |
| /8/  |                   | Normativy konstrukcí a frézování  |
| /9/  | Skvercov:         | Řezání kovů kotoučovými pilami  |
| /10/ | Křivák:           | Tvářecí stroje  |
| /11/ |                   | Katalog ozubených řemenů  |
| /12/ |                   | Katalog motorů n.p. MŠK Mohelnice   |
| /13/ | Čermáček:         | Strojní technická příručka I, II  |
| /14/ | Křivák:           | Technologie I   |
| /15/ | Křivák:           | Strojnické tabulky  |
| /16/ |                   | Postgraduální studium   |

Počet kusů	Název-rozměr	Polotovár	Mat. značka	Mat. výchozí	Váha odp.	Č. váha	Hr. váha	Číslo výkresu	Pos.
1	2	3	4	5	6	7	8	9	10
1	ZAVAZI ø40-150	ČSN425510	11 373		001				1
1	SVARENEC		11 373		001				2
1	RAMÍNKO 70x10	ČSN425522	11.373		001				3
1	MATICE M 16 ø50-15	ČSN425510	11500		001				4
1	DRŽÁK ø25 - 250	ČSN 42 5510	11500		001				5
1	POUZDRO ø140-100	ČSN425510	11600		001				6
1	HŘÍDEL ø75-140	ČSN 425510	11600		001				7
1	MATICE M16 ø75-8	ČSN 425510	11500		001				8
1	KRYT ø160-50	ČSN 425301	11 373		001				9
1	ČEP ø24-94	ČSN 425510	11500		001				10
3	ŠROUB M8-40	ČSN 021101							11
2	ŠROUB M 8 - 35	ČSN 021101							12
2	KOLÍK 10x25	ČSN 022153							13
1	PERO 4e7x4-15	ČSN 022562							14
1	POJISTNÝ KROUZEK 30	ČSN 022930							15
1	LOŽISKO 6206	ČSN 024636							16
2	POJISTNÝ KROUZEK 62	ČSN 022931							17
1	KOTOUC 150x20x20	ČSN 224510	JAKOSTI	0483606V					18
1	LOŽISKO 5007	ČSN024633							19
4	ŠROUB M4-12	ČSN 021146							20
1	ŠROUB M8-30	ČSN 021101							21
2	POJISTNÝ KROUZEK 14	ČSN 022930							22
7	MATICE M8x1	ČSN 021401							23
2	ŠROUB M8-50	ČSN 021101							24
1	MOTOR 2 AP 63-2 SAIC	250 W 2730 ot/min saic							25

1:1

20.5.82

VŠST  
LIBEREC KYVNÉ RAMENO  
S BRUSKOU

1-KOM-OS-025/0-02-1



Počet kusů	Název - rozměr	Polotovár	Mat. konečný	Mat. výchozí	Trída odp.	č. váha	Hr. váha	Číslo výkresu	Pos.
1	2	3	4	5	6	7	8	9	10
1	MATICE M10	ČSN 425510	11 500		001				1
2	ŠROUB M10-67	ČSN 425510	11 500		001				2
1	REMENICE φ40-20-20zubů	ČSN425510	11 600		001				3
1	DESKA 5x150-320	ČSN425522	11 343		001				4
2	REMENICE φ63-20	ČSN425510	11500		001				5
2	ŠROUB M 8-38	ČSN425510	11500		001				6
1	PRÍDRŽNÁ MATICE M 10	ČSN 425522	11500		001				7
1	ROZPĚRKA φ22-15	ČSN425715	11 373		001				8
1	HŘÍDEL φ17-100	ČSN425510	11 500		001				9
1	LOŽISKOVÉ TELESO φ50-25	ČSN425510	11500		001				10
1	REMENICE φ70-18-35zubů	ČSN 425510	11600		001				11
1	NOSNIK 7x60-490	ČSN 420076	11 343		001				12
2	BOČNICE 5x180-230	ČSN425522	11 343		001				13
4	REMENICE φ63-20	ČSN425510	11500		001				14
2	ŠROUB M 10-95	ČSN 425510	11 500		001				15
8	PODLOŽKA φ50-3	ČSN 425510	11 500		001				16
4	MATICE M8	ČSN 021401							17
4	ŠROUB M 8-25	ČSN 021101							18
1	OZUBENÝ ŘEMEN TYP 27 2213030								19
1	PŘEVODOVÝ MOTOREK S JEDNÍM ŠNEKOVÝM PŘEVODEM TYP 2APS 63-4SN, PROVEDENÍ IP 44/g, 112,5 ot/min								20
1	ŠROUB M 10-48	ČSN 021101							21
4	MATICE M8	ČSN 021401							22
1	PERO 5e7x5-37	ČSN 022562							23
2	LOŽISKO 6203	ČSN 024636							24
1	PERO 5e7x5-15 SAIC	ČSN 02 25 62 Savic							25

1:1

20.5.82

VŠST  
LIBEREC

NÁHON  
TYČEK

1-KOM-OS-025/0-02-2

2

1

Počet kusů	Název - rozměr	Polotovár	Mat. kodačný	Mat. vyčíslení	Tržda odp	č. váha	Hr. váha	Číslo vyřezsu	Pos.
1	2	3	4	5	6	7	8	9	10
1	NOSNÍK POHYB. 128x40-135	ČSN425523	19 312		002				1
1	NÁSTROJ Ø50-25	ČSN42 5516	19 312		002				2
1	ŠROUB M52-37	ČSN425510	11 600		001				3
1	ČEP Ø32-90	ČSN425510	11600		001				4
1	DESKA 35x35-90	ČSN426520	11370		001				5
1	LIŠTA 40x15-160	ČSN425522	11370		001				6
2	MATICE M52	ČSN425510	11600		001				7
1	NÁSTROJ Ø50-25	ČSN425516	19 312		002				8
1	ŠROUB M52-37	ČSN425510	11 600		001				9
1	NOSNÍK PEVNÝ 110x40-140	ČSN425523	19 312		002				10
1	BOČNICE LEVÁ 110x40-255	ČSN 425522	11 370		001				11
1	ZÁKL. DESKA 180x40-345	ČSN425522	11 370		001				12
2	UPÍNKA 40x15-120	ČSN4255 22	11 370		001				13
2	UHELNÍK 25x28-100	ČSN426520	14 220		033				14
1	BOČNICE PRAVÁ 110x40-255	ČSN425522	11 370		001				15
2	PRUŽINA Ø3,15-460	ČSN026001							16
4	PODLOŽKA 13	ČSN 021702							17
4	ŠROUB M 12-100	ČSN021174							18
4	MATICE M 12	ČSN 021401							19
6	ŠROUB M8-28	ČSN 021143							20
8	ŠROUB M 6-17	ČSN 021151							21
8	ŠROUB M12-60	ČSN 021143							22
	UPÍNAČÍ DUTINA BERANU Ø32-60								23
1	ŠROUB M 16-80	ČSN 021101							24
	STŮL LISU 530x370 SAIC								25

1:1

20.5.82

VŠST  
LIBEREC

PŘÍPRAVEK

1-KOM-OS-025/0-01